



# **Fahrzeug - Querregelung**

**- Dortmund 25.06.2010 -**

**Dr.-Ing. Xiuxun Yin**

# Übersicht

---

- ▶ Einführung
- ▶ Fahrdynamik
- ▶ Querregelung
- ▶ Fahrversuch
- ▶ Zusammenfassung

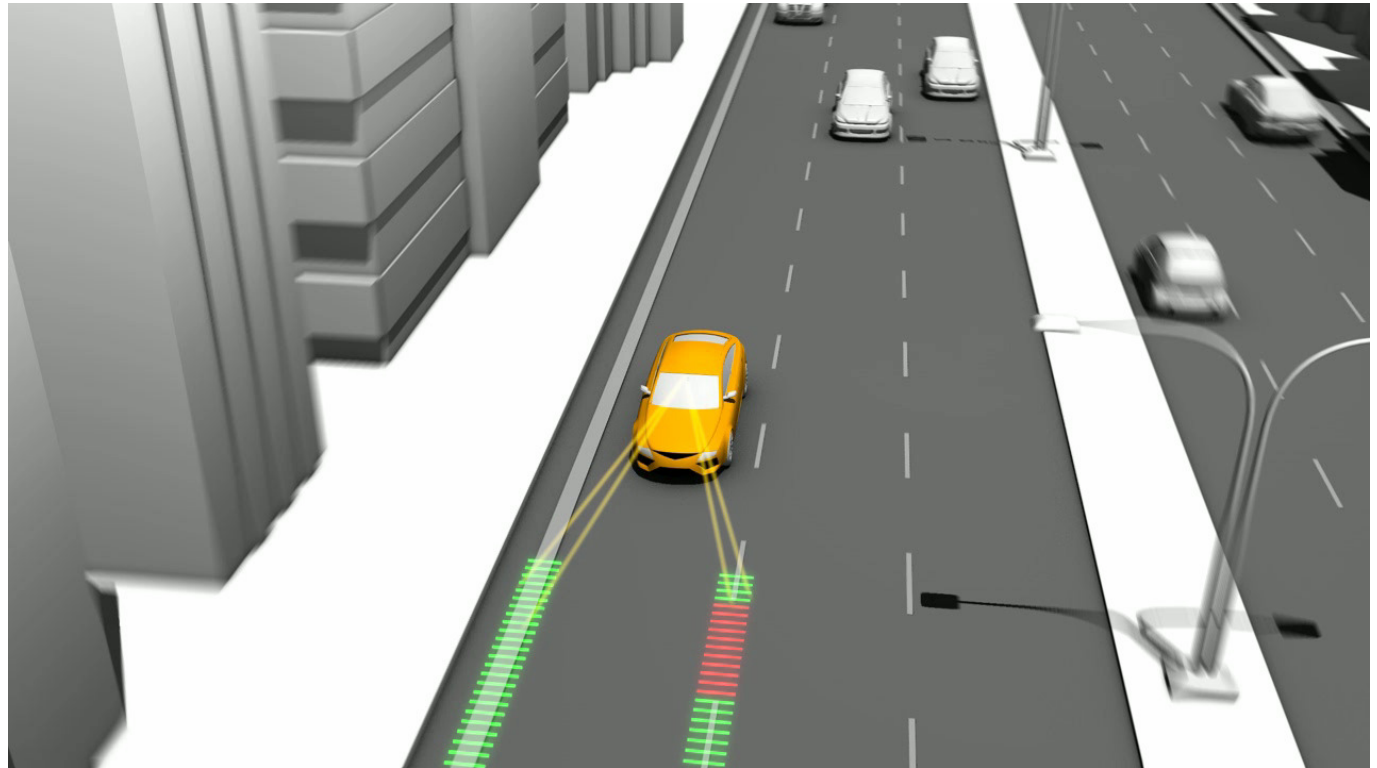
# Einführung Fahrzeugquerführung

---

Brauchen wir eine Fahrzeugquerführung?

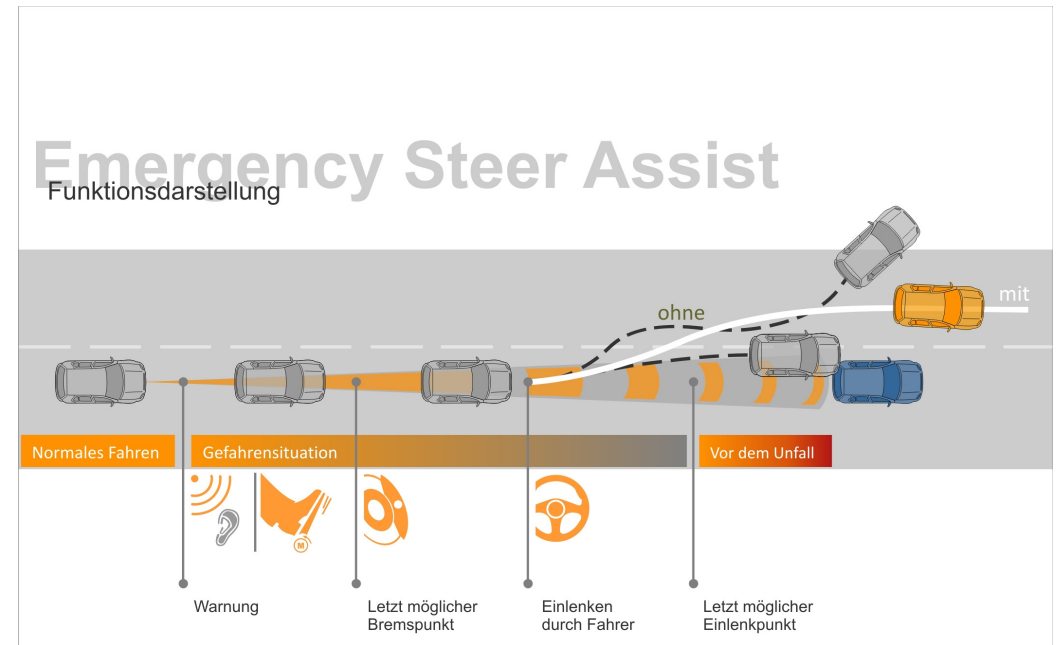
Beispiel 1:

- Lane Centering Control
- Lane Keeping Support



# Einführung Fahrzeugquerführung

## Beispiel 2: Ausweichassistent (ESA)



# Einführung Fahrzeugquerführung

---

## Beispiel 3: Baustellenassistent

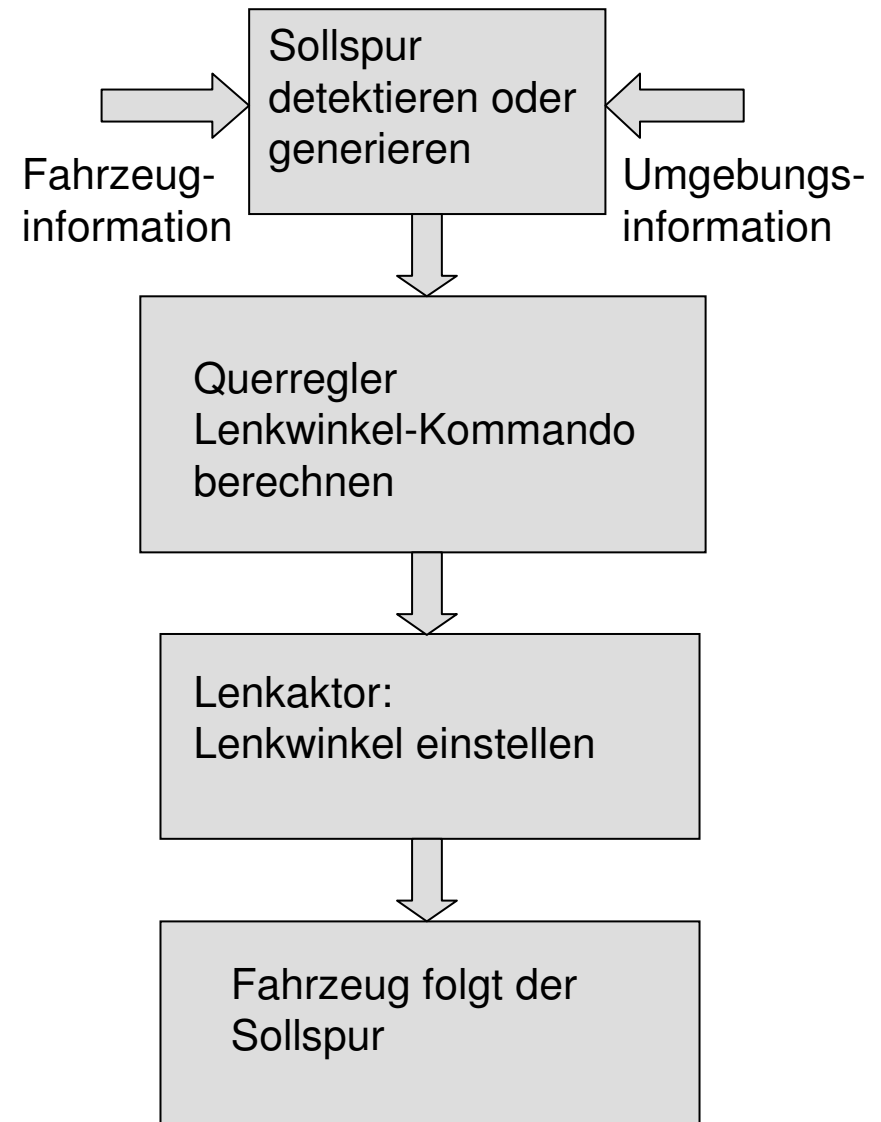


# Einführung

## Aufgabe der Querführung

Querführung ist eine durch das Fahrerassistenz System ausgeführte Lenkaktivität, um das Fahrzeug so zu führen, dass es dem Sollspurverlauf mit erlaubter Fehlertoleranz folgt.

- ▶ Vermeidet Unfälle
- ▶ Verbessert Fahrsicherheit
- ▶ Erhöht Fahrkomfort
- ▶ Ermöglicht (Teil-) Autonomesfahren



# Übersicht

---

- ▶ Einführung
- ▶ Fahrdynamik
- ▶ Querregelung
- ▶ Fahrversuch
- ▶ Zusammenfassung

# Fahrdynamik: Einspurmodell

- ▶ Einspurmodell  
Beschreibt wesentliche Fahrzeugdynamik

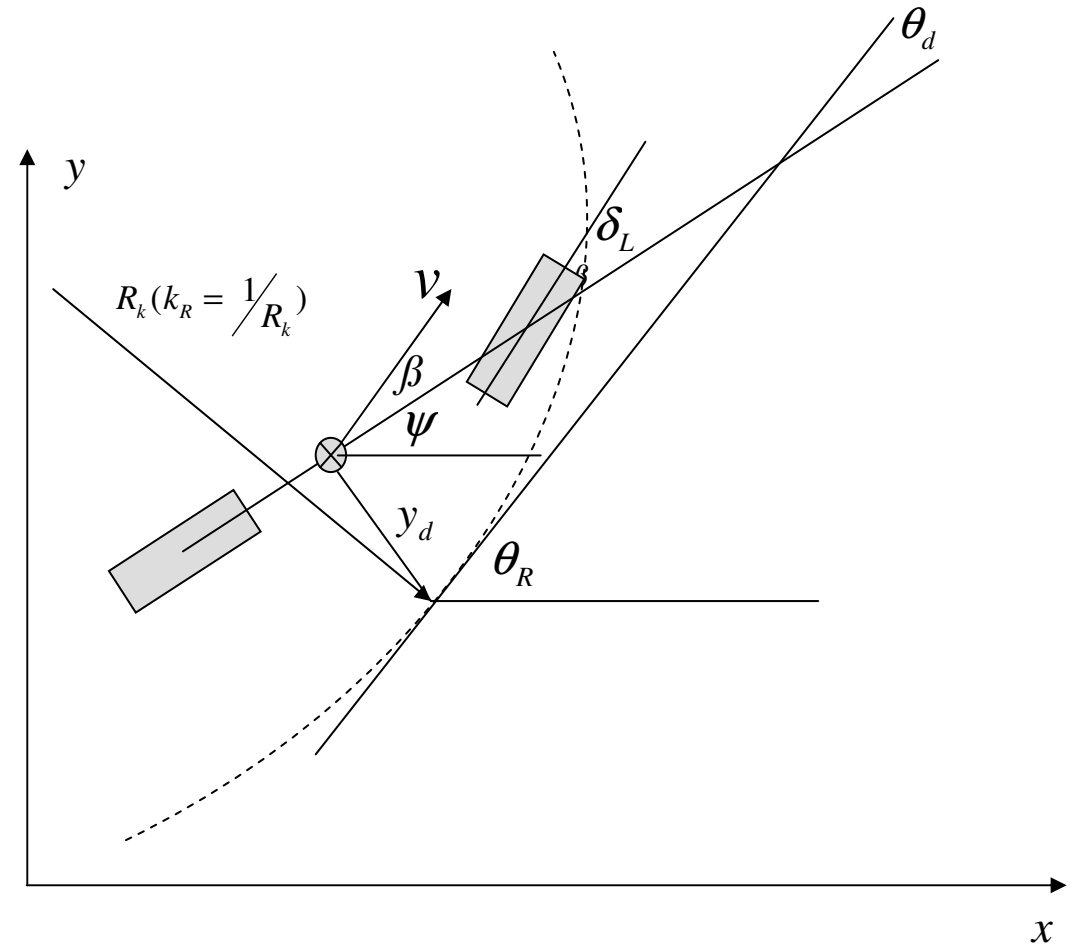
$$\dot{\beta} = \frac{a_{11}}{v} \beta + \left( \frac{a_{12}}{v^2} - 1 \right) \dot{\psi} + \frac{b_1}{v} \delta_L$$

$$\ddot{\psi} = a_{21} \beta + \frac{a_{22}}{v} \dot{\psi} + b_2 \delta_L$$

- ▶ Querabweichung- und Kurswinkelfehlerdynamik

$$\dot{y}_d = v \theta_d + v \beta$$

$$\dot{\theta}_d = v k_R - \dot{\psi}$$





# Fahrdynamikmodell

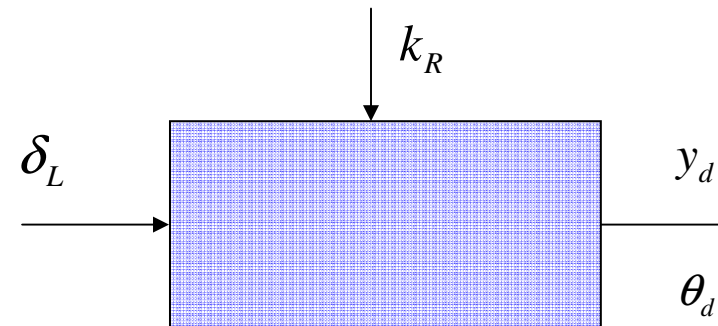
## ► Gesamte Fahrdynamik

$$\begin{bmatrix} \dot{\beta} \\ \ddot{\psi} \\ \dot{\theta}_d \\ \dot{y}_d \end{bmatrix} = \begin{bmatrix} a_{11} & (a_{12}/v^2 - 1) & 0 & 0 \\ a_{21} & a_{22}/v & 0 & 0 \\ 0 & -1 & 0 & 0 \\ v & 0 & v & 0 \end{bmatrix} \begin{bmatrix} \beta \\ \ddot{\psi} \\ \theta_d \\ y_d \end{bmatrix} + \begin{bmatrix} b_1/v & 0 \\ b_2 & 0 \\ 0 & v \\ 0 & 0 \end{bmatrix} \begin{bmatrix} \delta_L \\ k_R \end{bmatrix}$$

## ► Eingangsgröße: Lenkwinkel

## ► Ausgangsgrößen: Querabweichung und Kurswinkelfehler

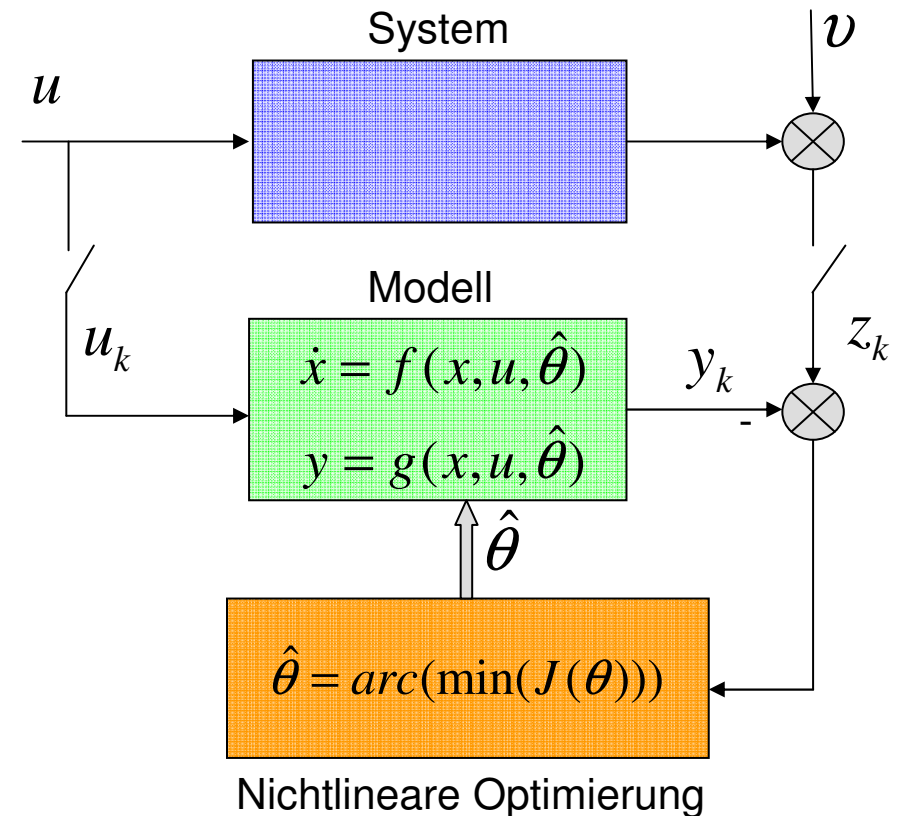
## ► Störgröße: Sollspurkrümmung



# Fahrdynamik: Identifikation

- ▶ Experimentelle Bestimmung des dynamischen Modells eines Systems.
- ▶ Das identifizierte Modell soll das Ein-/Ausgangsverhalten hinreichend genau darstellen.
- ▶ Die Modellstruktur ist bekannt oder vorgegeben.
- ▶ Identifikation der Modellparameter durch nicht-lineare Optimierung der Zielfunktion

$$J(\theta) = \frac{1}{L} \sum_0^L [z(t_k) - y(t_k)] R^{-1} [z(t_k) - y(t_k)]$$



# Identifikation Modell und Parameter

Fahrzeugmodell:

$$\dot{x} = v \cos(\beta + \psi)$$

$$\dot{y} = v \sin(\beta + \psi)$$

$$\psi = \int \dot{\psi} dt$$

$$\dot{\beta} = \frac{a_{11}}{v} \beta + \left( \frac{a_{12}}{v^2} - 1 \right) \dot{\psi} + \frac{b_1}{v} \delta_L$$

$$\ddot{\psi} = a_{21} \beta + \frac{a_{22}}{v} \dot{\psi} + b_2 \delta_L$$

Zu identifizierende Parameter:

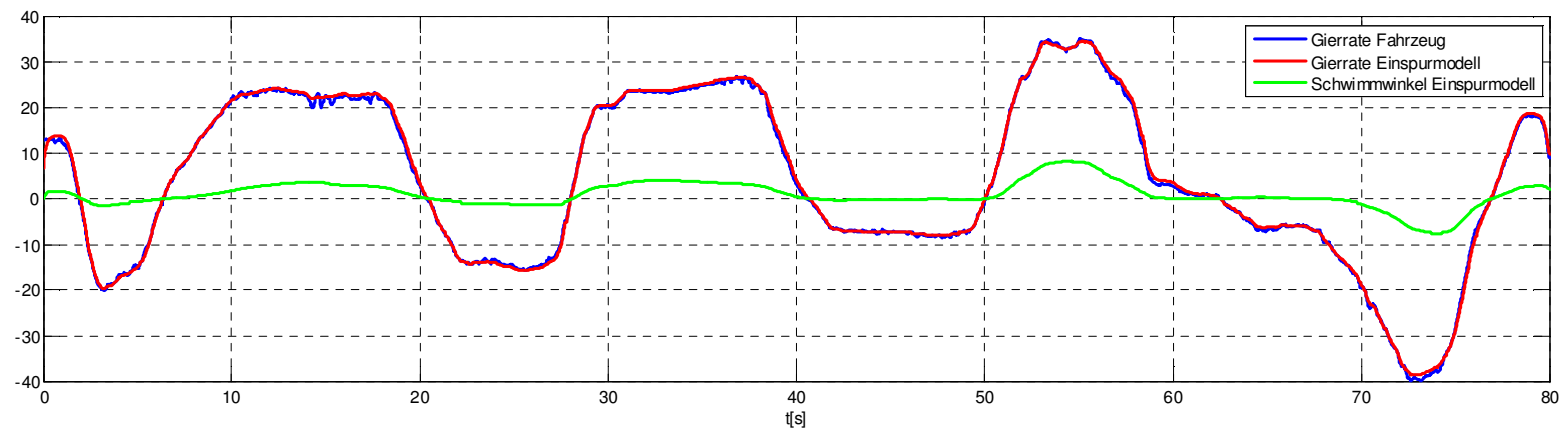
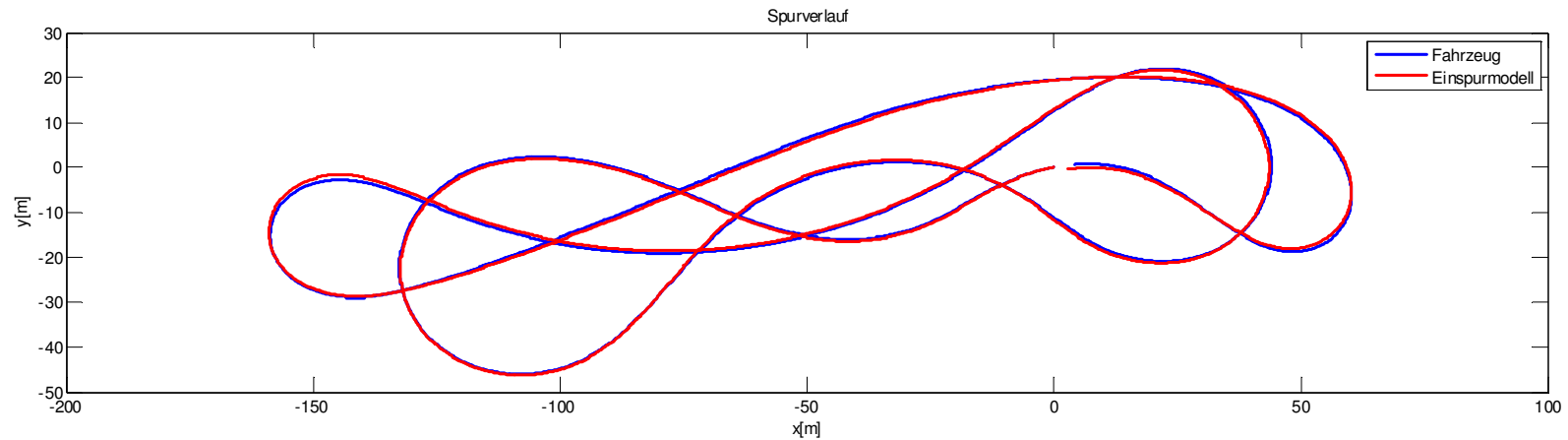
$$a_{11}, a_{12}, a_{21}, a_{22}, b_1, b_2$$

Gemessen werden:

$x$	: Längengrad (DGPS mit Basisstation)
$y$	: Breitengrad
$\theta_v$	: Kurswinkel
$\dot{\psi}$	: Gierrate (ESP Sensor)
$v$	: Längsgeschwindigkeit ( Raddrehzahl + DGPS)
$\delta_L$	: Lenkwinkel (ESP Lenkwinkelsensor)

# Identifikation

## Vergleich Messung und identifiziertes Modell



# Fahrdynamik

## Einfluss des Schwimmwinkels

### ► Modell mit Schwimmwinkel

$$\begin{bmatrix} \dot{\beta} \\ \ddot{\psi} \\ \dot{\theta}_d \\ \dot{y}_d \end{bmatrix} = \begin{bmatrix} a_{11} & (a_{12}/v^2 - 1) & 0 & 0 \\ a_{21} & a_{22}/v & 0 & 0 \\ 0 & -1 & 0 & 0 \\ v & 0 & v & 0 \end{bmatrix} \begin{bmatrix} \beta \\ \psi \\ \theta_d \\ y_d \end{bmatrix} + \begin{bmatrix} b_1/v & 0 \\ b_2 & 0 \\ 0 & v \\ 0 & 0 \end{bmatrix} \begin{bmatrix} \delta_L \\ k_R \end{bmatrix}$$

### ► Modell ohne Schwimmwinkel

$$\begin{bmatrix} \ddot{\psi} \\ \dot{\theta}_d \\ \dot{y}_d \end{bmatrix} = \begin{bmatrix} a_{22}/v & 0 & 0 \\ -1 & 0 & 0 \\ 0 & v & 0 \end{bmatrix} \begin{bmatrix} \psi \\ \theta_d \\ y_d \end{bmatrix} + \begin{bmatrix} b_2 & 0 \\ 0 & v \\ 0 & 0 \end{bmatrix} \begin{bmatrix} \delta_L \\ k_R \end{bmatrix}$$

# Fahrdynamik

## Lenk-Aktordynamik

---

Vereinfachte Fahrdynamik

$$\begin{bmatrix} \ddot{\psi} \\ \dot{\theta}_d \\ \dot{y}_d \end{bmatrix} = \begin{bmatrix} a_{22}/v & 0 & 0 \\ -1 & 0 & 0 \\ 0 & v & 0 \end{bmatrix} \begin{bmatrix} \dot{\psi} \\ \theta_d \\ y_d \end{bmatrix} + \begin{bmatrix} b_2 \\ 0 \\ 0 \end{bmatrix} \delta_L$$

Lenk-Aktor mit Lenkwinkelregler

$$\dot{\delta}_L = a_w \delta_L + b_w \delta_c$$

# Fahrdynamik

## Modell für die Querregelung

### Besonderheiten des Models

- ▶ LPV: Lineares Parameter-Veränderliches System (**L**inear **P**arameter-**V**arying System)
- ▶ Zeitinvariantes lineares System bei  $v = \text{Konstante}$ .
- ▶ Entwurfsmethode linearer Systeme könnte bei sich langsam ändernder Geschwindigkeit gültig sein.

$$\begin{bmatrix} \dot{\delta}_L \\ \ddot{\psi} \\ \dot{\theta}_d \\ \dot{y}_d \end{bmatrix} = \underbrace{\begin{bmatrix} a_w & 0 & 0 & 0 \\ b_2 & a_{22}/v & 0 & 0 \\ 0 & -1 & 0 & 0 \\ 0 & 0 & v & 0 \end{bmatrix}}_{A(v)} \underbrace{\begin{bmatrix} \delta_L \\ \psi \\ \theta_d \\ y_d \end{bmatrix}}_x + \underbrace{\begin{bmatrix} b_w \\ 0 \\ 0 \\ 0 \end{bmatrix}}_B \delta_c$$

$$\dot{x} = A(v) \cdot x + B \cdot u$$

# Übersicht

---

- ▶ Einführung
- ▶ Fahrdynamik
- ▶ Querregelung
- ▶ Fahrversuch
- ▶ Zusammenfassung



# Querregelung

---

- ▶ LQR (Lineare Quadratisch Optimale Regelung)
- ▶ LQR mit Luenberger-Beobachter als Störgrößenkompensator
- ▶ Gain Scheduling: Geschwindigkeitsabhängige Regler und Beobachter

# LQR für geraden Spurverlauf

---

Lineares quadratisches Optimierungsproblem für das lineare System

$$\dot{x}(t) = Ax(t) + Bu(t)$$

durch eine Zustandsrückführung

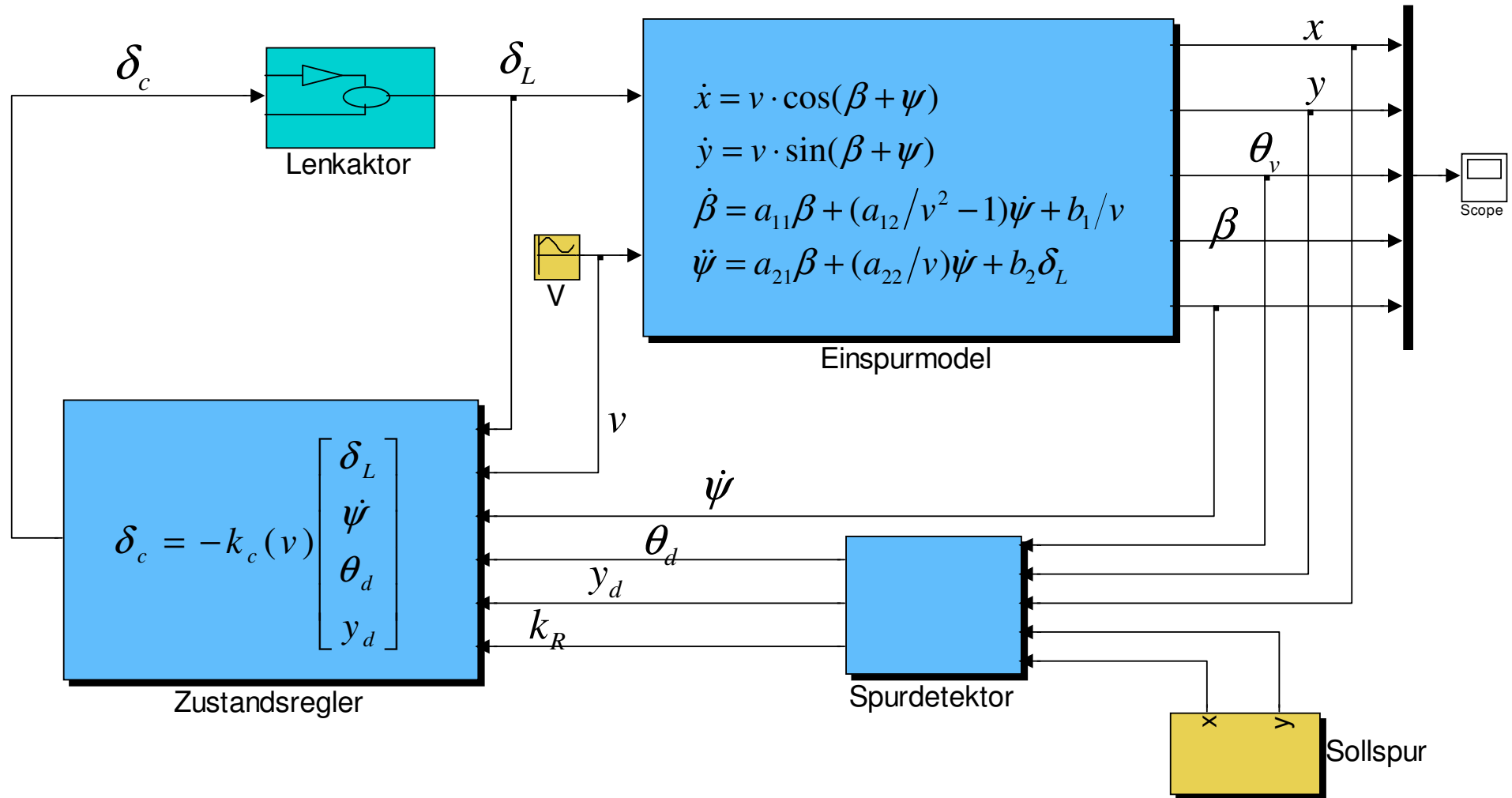
$$u(t) = -k_c x(t) = -R^{-1}B^T Px(t)$$

soll das Gütekriterium minimiert werden

$$J = \int_0^{\infty} [x^T(t)Qx(t) + u^T(t)Ru(t)]dt$$

Lösung mit Matlab:  $k_c = lqr(A, B, Q, R)$

# Struktur der Zustandsrückführung

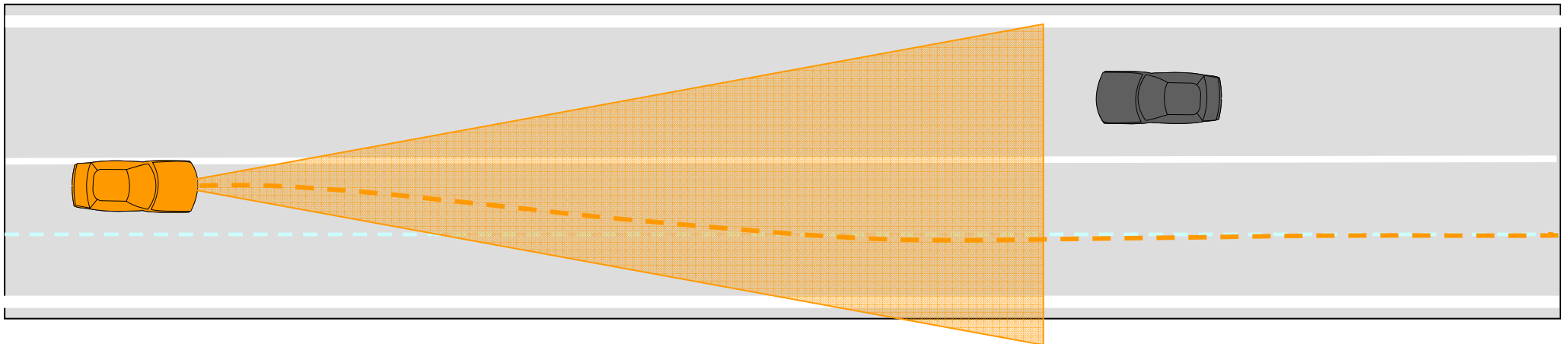


# LQR

## Simulation für geraden Sollspurverlauf

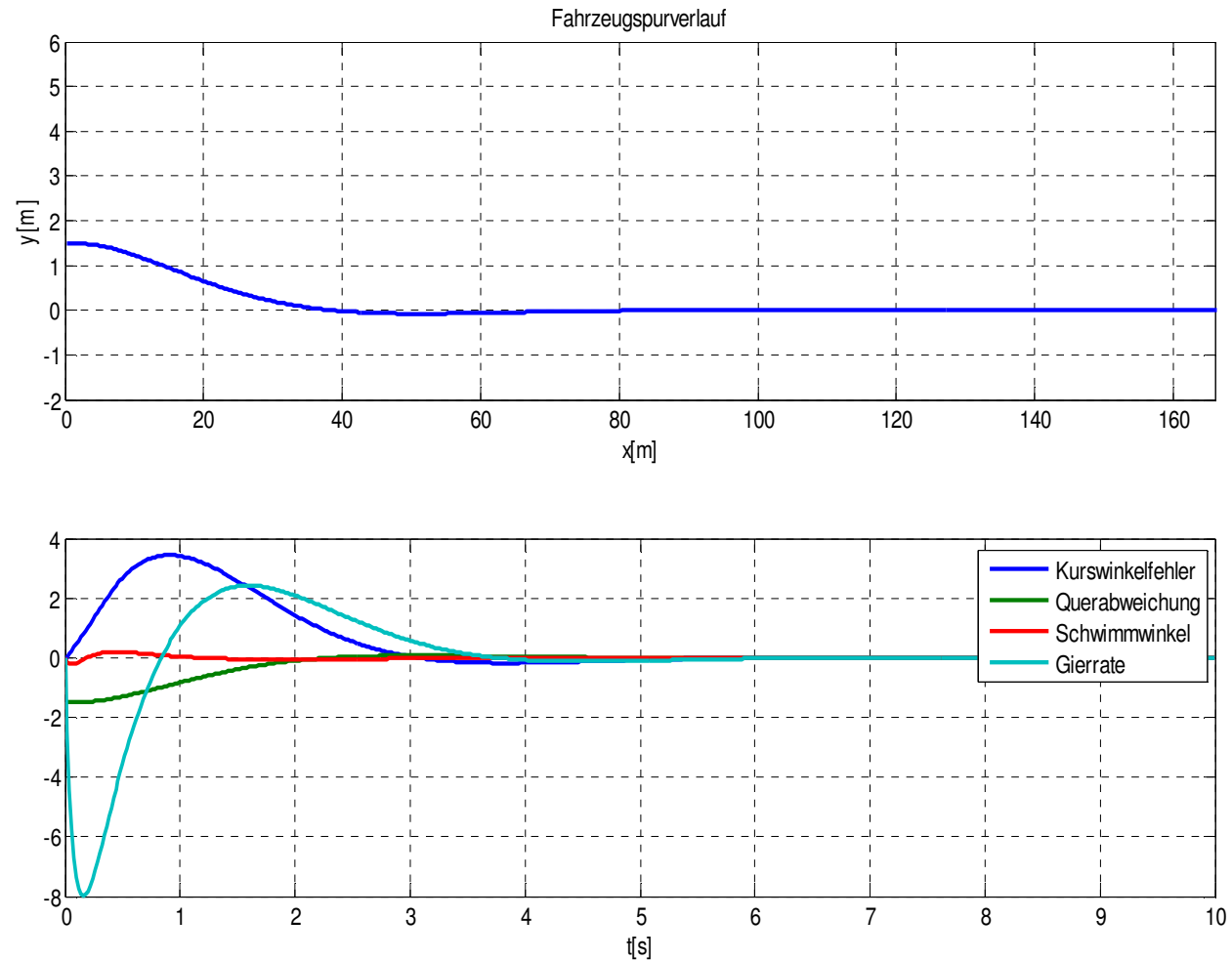
Solllenkwinkel:  $\delta_c = -k_c \begin{bmatrix} \delta_L \\ \dot{\psi} \\ \theta_d \\ y_d \end{bmatrix}$ , Anfangszustand:  $\begin{bmatrix} x(0) \\ y(0) \\ \beta(0) \\ \psi(0) \\ \dot{\psi}(0) \\ \delta_L(0) \end{bmatrix} = \begin{bmatrix} 0 \\ 1.5 \\ 0 \\ 0 \\ 0 \\ 0 \end{bmatrix}$

Geschwindigkeit:  $v = 16.6667 \text{ [m/s]} \text{ (60 kmh)}$



# Simulation für geraden Sollspurverlauf

- ▶ Keine bleibende Querabweichung und Kurswinkelfehler
- ▶ Gute dynamische Ausregelung der Querabweichung



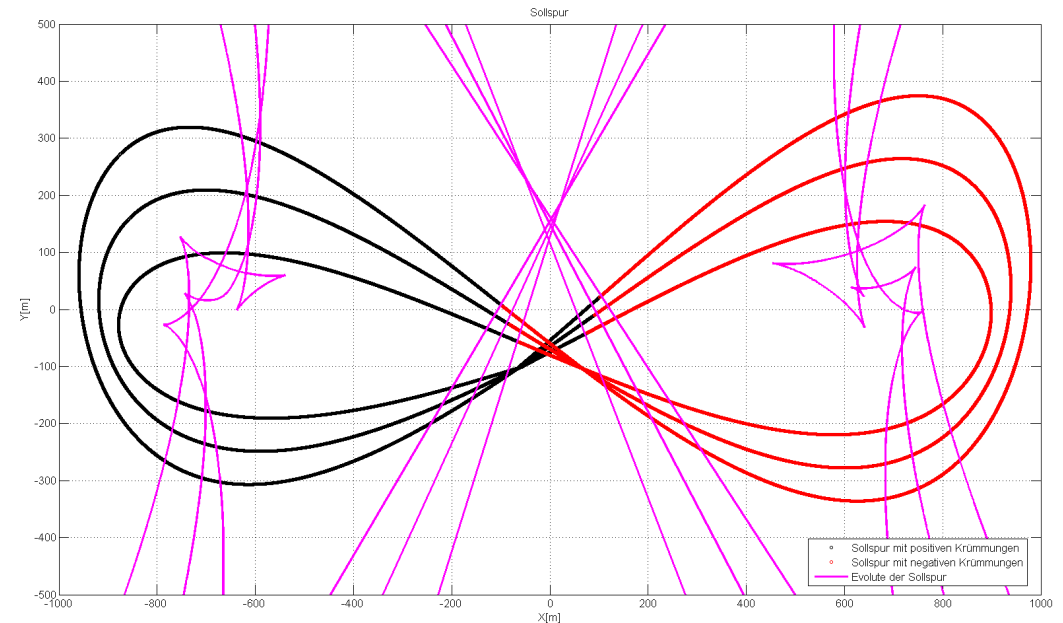
# Sollspurverlauf mit sich ändernder Krümmung

Sollspur:

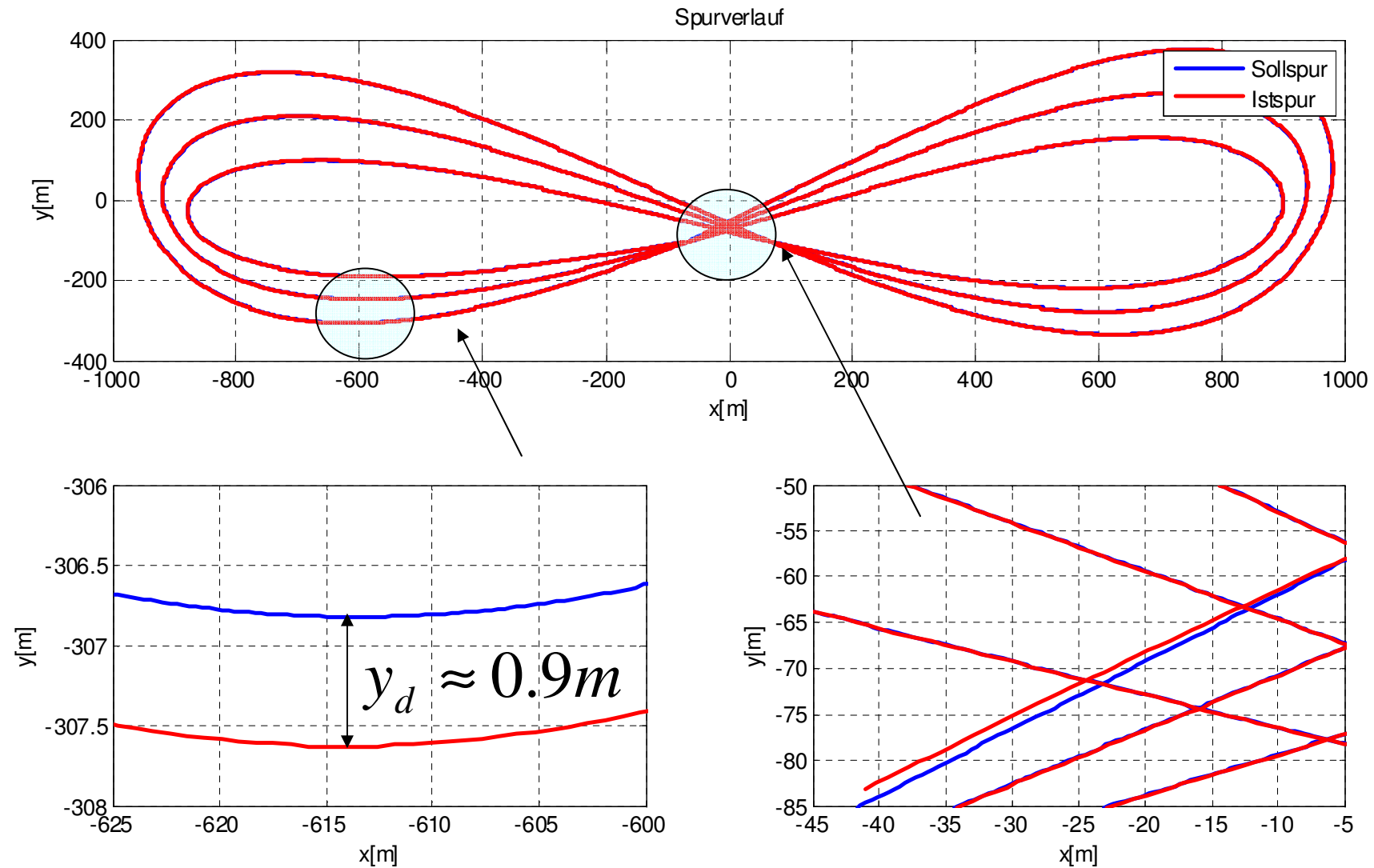
- ▶ Krümmung variieren kontinuierlich
- ▶ Größte Krümmung 0.0109, entspricht Krümmungsradius 91.8m
- ▶ Positive und negative Krümmung (Links- und Rechtskurve)

Simulationskonfiguration

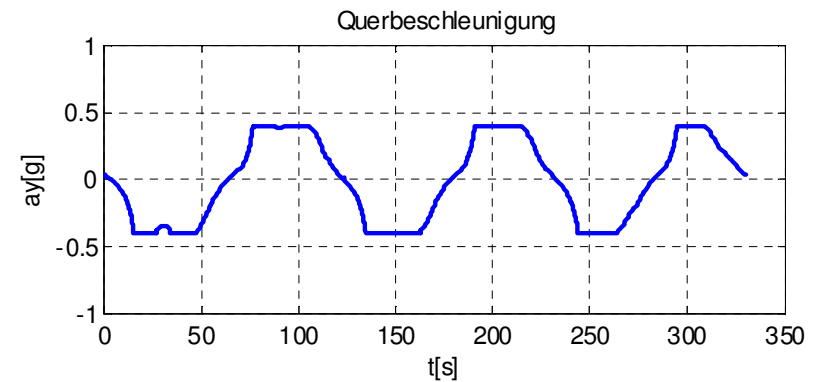
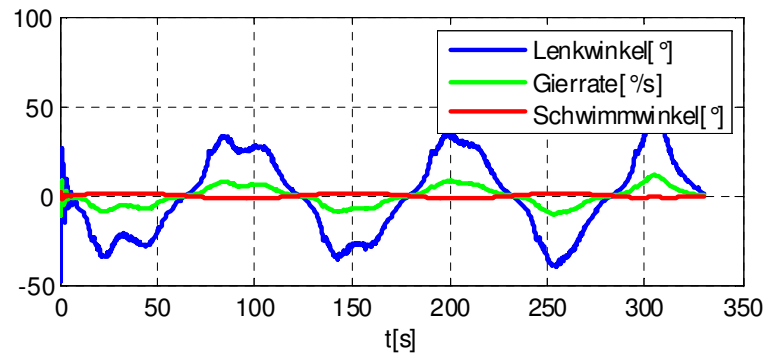
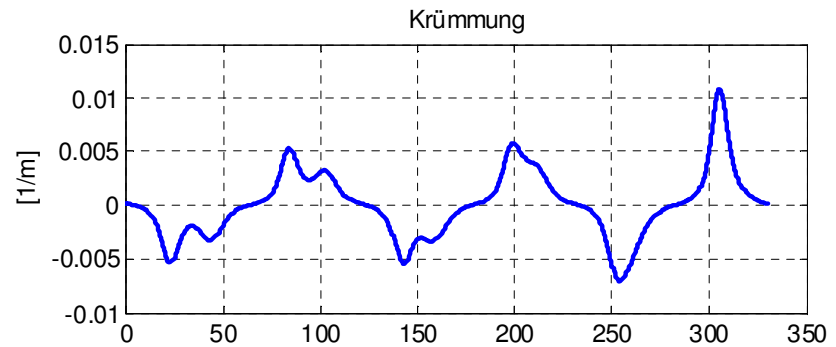
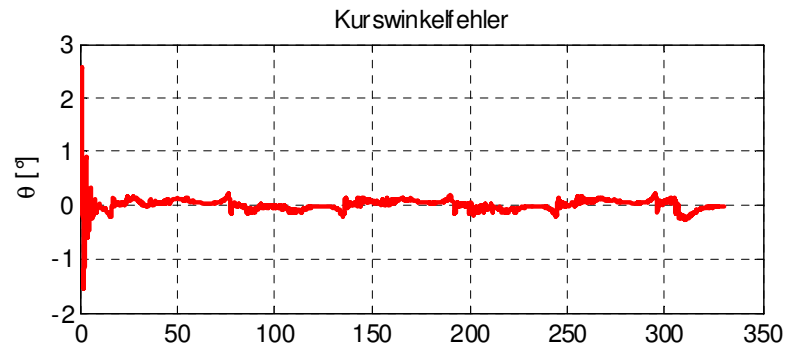
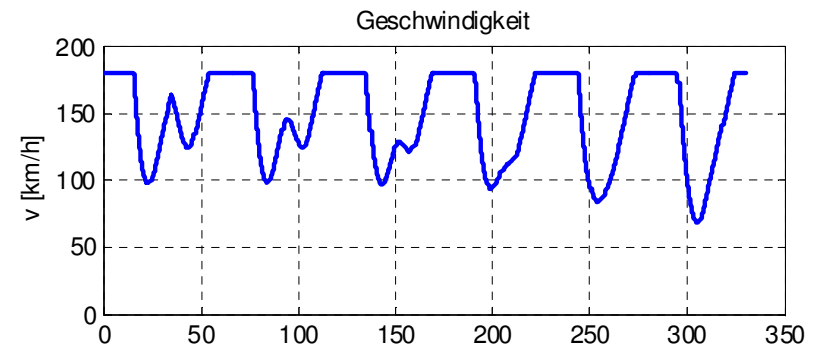
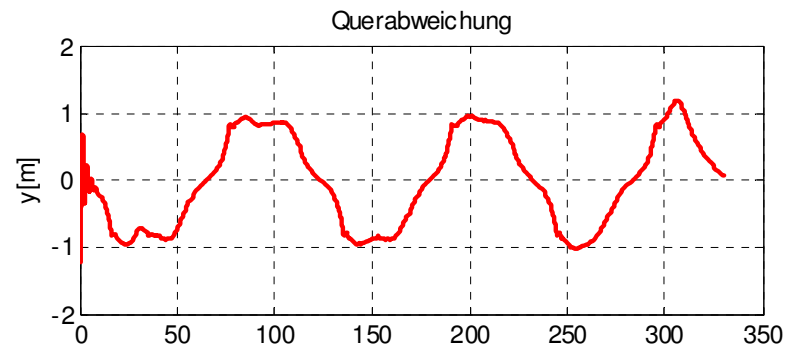
- ▶ Geschwindigkeit 68 - 180 kmh
- ▶ Querbeschleunigung 0.4g (an möglichen Strecken)
- ▶ Anfangsqueraabweichung ca. 1.0 m



# Simulierter Fahrzeugspurverlauf



# LQR: Inakzeptable große Querabweichung

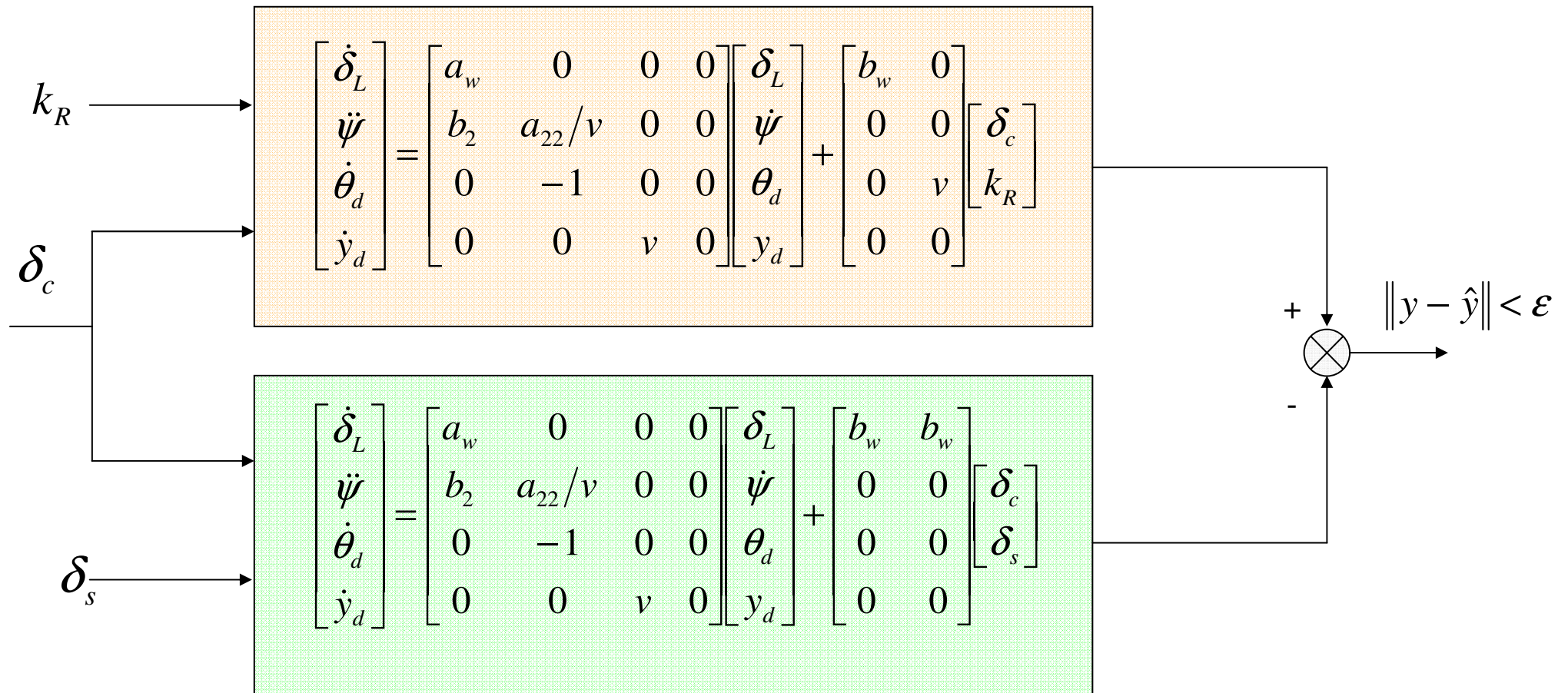




# Störgrößenbeobachter

## Krümmung als Störung am Lenkwinkel

Suche nach einem Lenkwinkelkommando  $\delta_s$ , das die gleiche Auswirkung wie die Sollspurkrümmung auf die Fahrdynamik hat.



# Luenberger-Beobachter als Störgrößenbeobachter

Störleinkwinkel  $\delta_s$  als eine Zustandsvariable betrachten und mit Luenberger-Beobachter alle Zustände beobachten.

$$\begin{bmatrix} \dot{\delta}_L \\ \ddot{\psi} \\ \dot{\theta}_d \\ \dot{y}_d \\ \dot{\delta}_s \end{bmatrix} = \begin{bmatrix} a_w & 0 & 0 & 0 & b_w \\ b_2 & a_{22}/v & 0 & 0 & 0 \\ 0 & -1 & 0 & 0 & 0 \\ 0 & 0 & v & 0 & 0 \\ 0 & 0 & 0 & 0 & 0 \end{bmatrix} \begin{bmatrix} \delta_L \\ \psi \\ \theta_d \\ y_d \\ \delta_s \end{bmatrix} + \begin{bmatrix} b_w \\ 0 \\ 0 \\ 0 \\ 0 \end{bmatrix} \delta_c \quad \Rightarrow \quad \begin{aligned} \dot{x} &= A_o(v)x + B_o u \\ y &= C_o x \end{aligned}$$

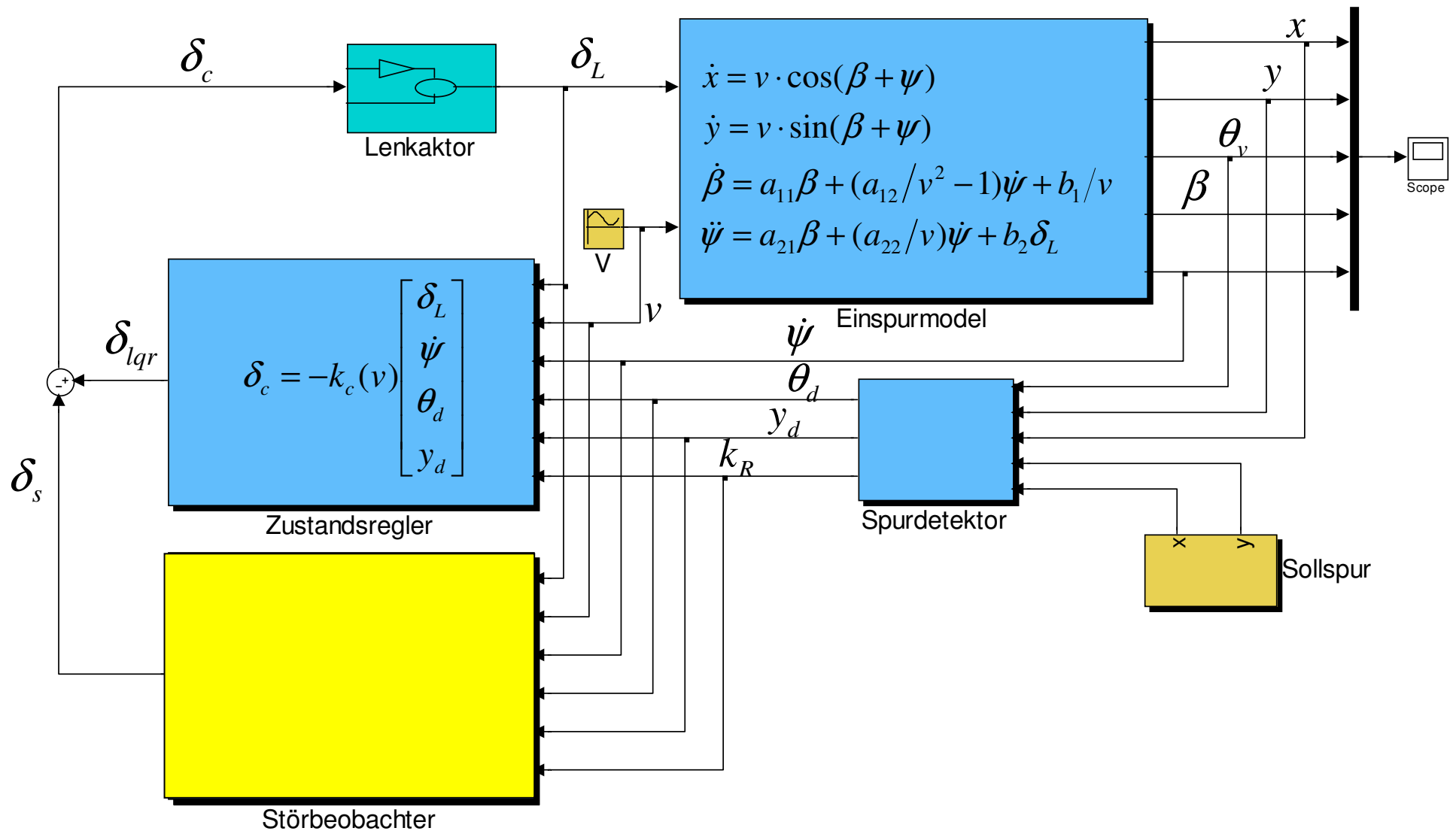
Luenberger-Beobachter

$$\begin{aligned} \dot{\hat{x}}_o &= A_o(v)\hat{x}_o + B_o u + k_o(y - C_o \hat{x}_o) \\ \hat{y}_o &= C_o \hat{x}_o \end{aligned}$$

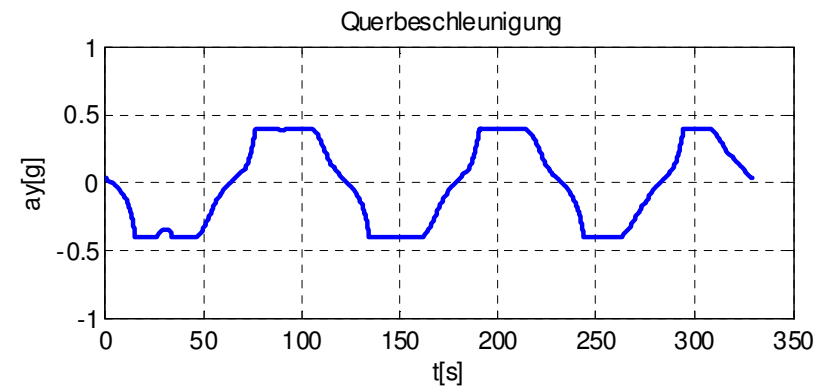
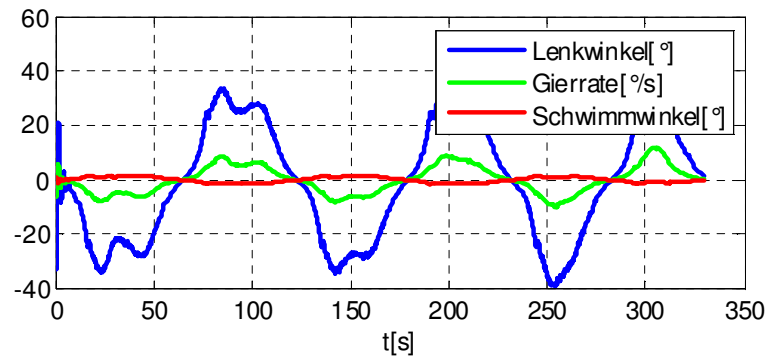
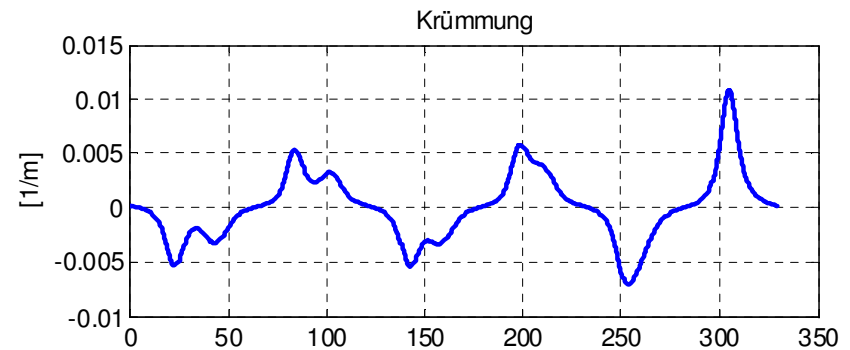
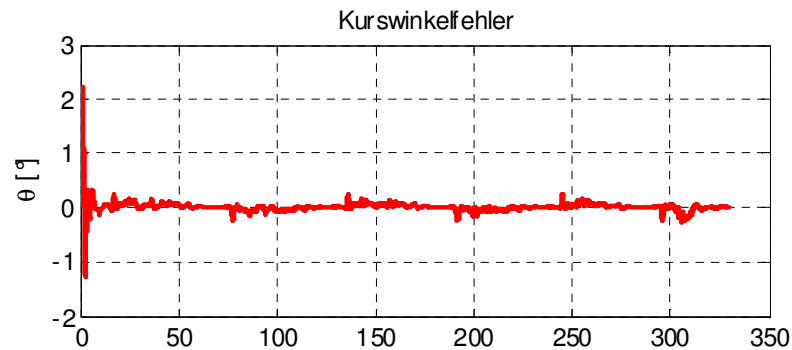
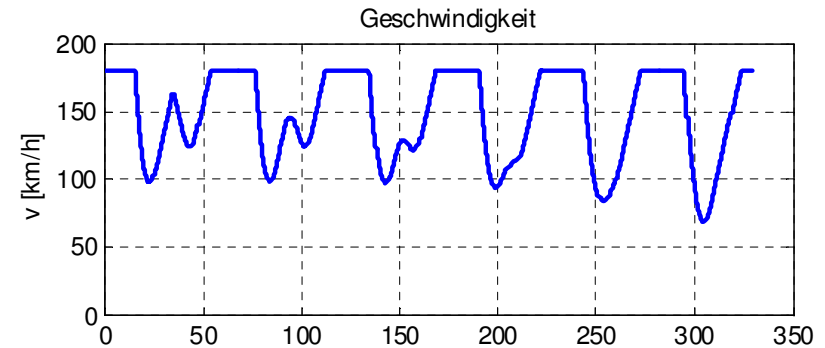
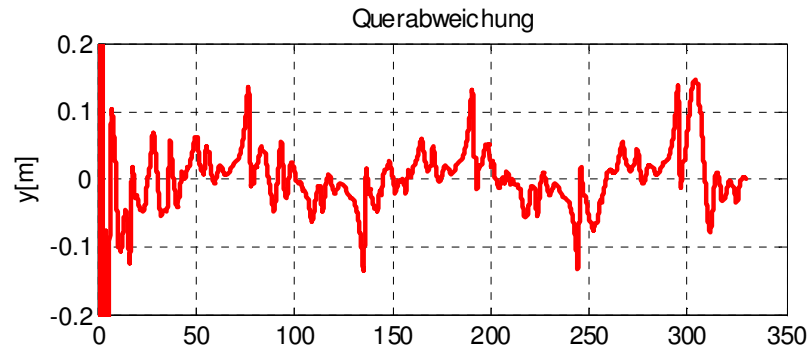
Beobachtermatrix

$$k_o(v) = lqr(A_o^T(v), C_o^T, Q_o(v), R_o)$$

# Struktur LQR mit Störgrößenkompensation

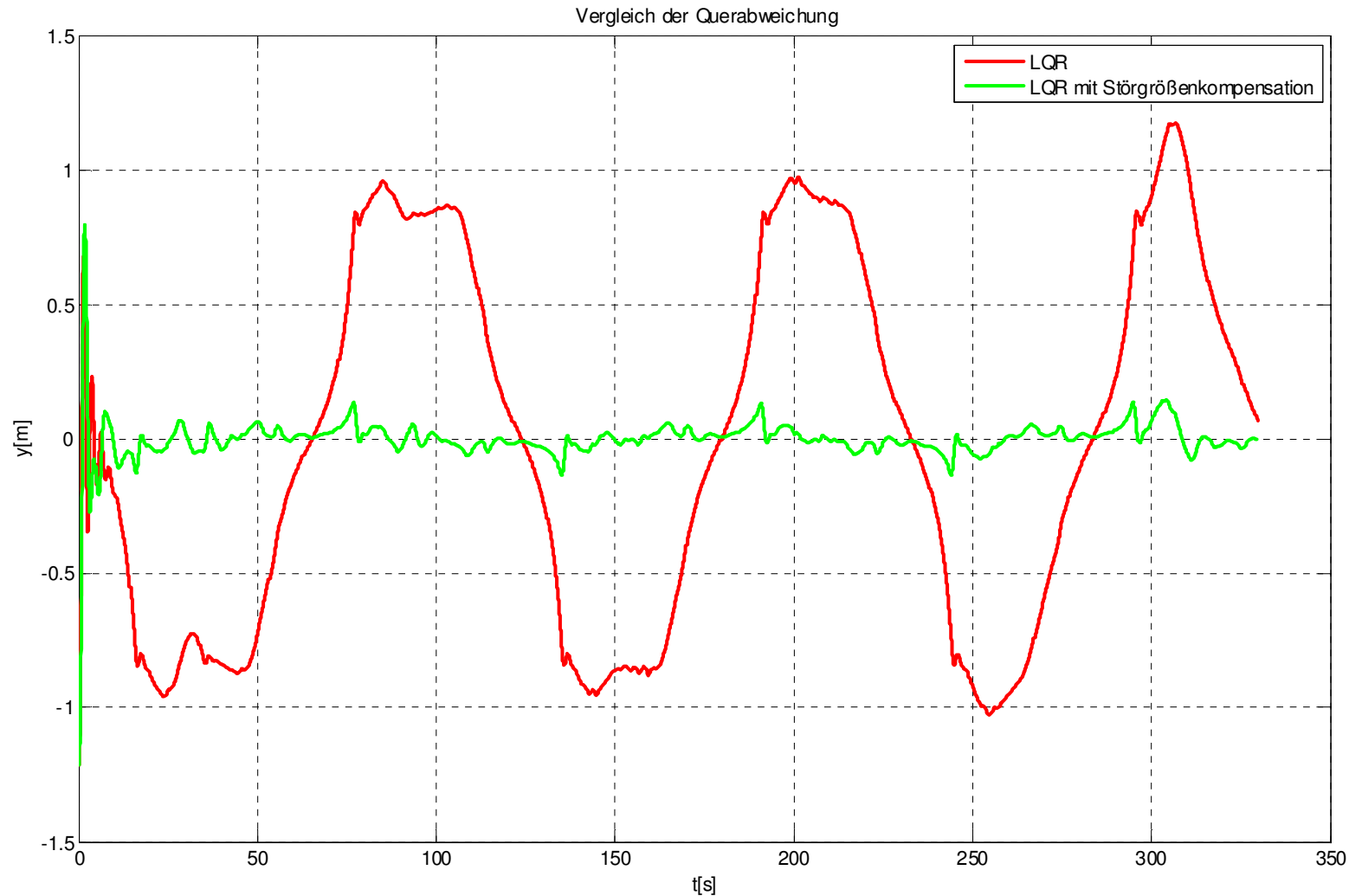


# LQR mit Störgrößenkompensation



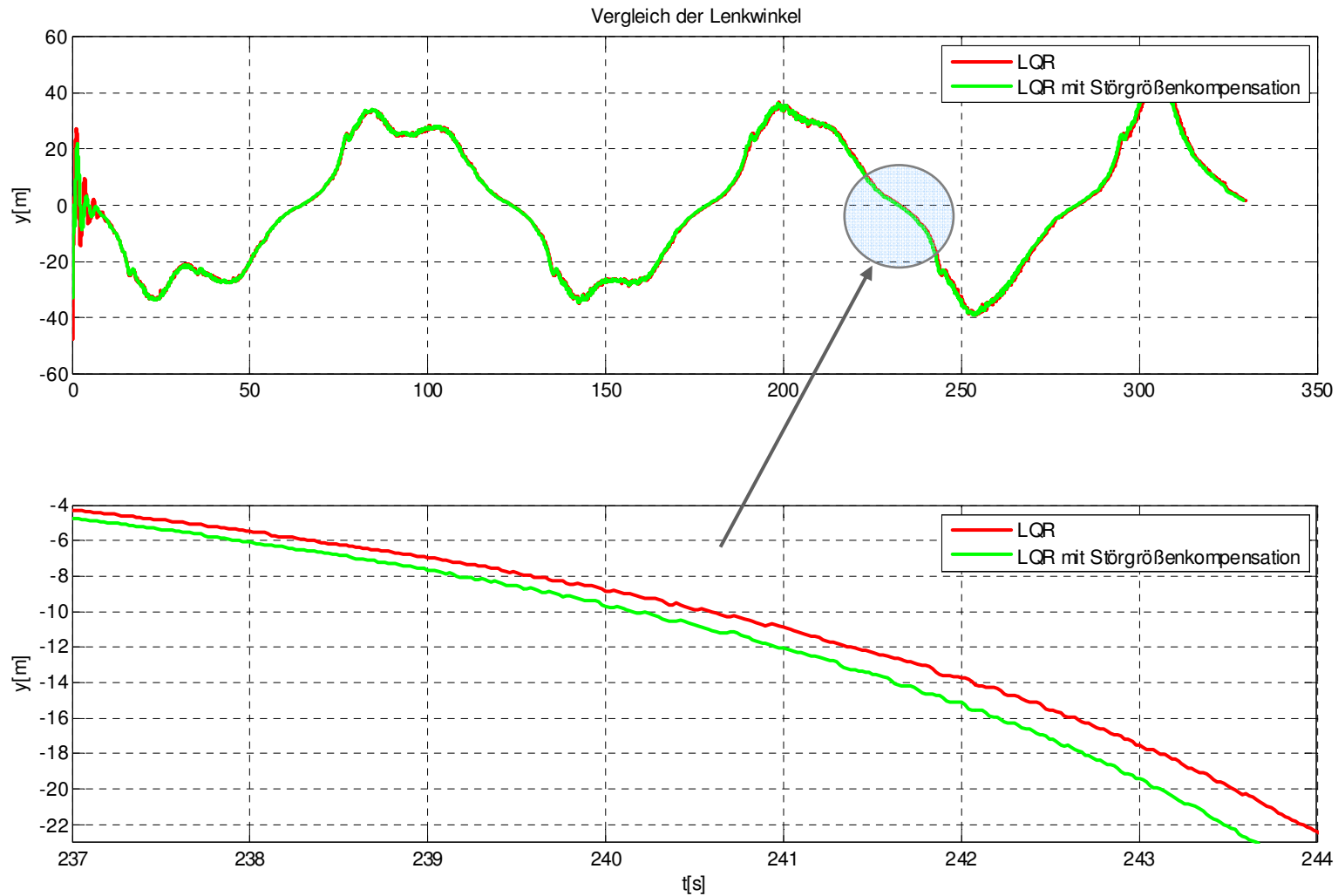
# Vergleich der Querabweichungen

Deutlich kleinere Querabweichungen bei LQR mit Störgrößenkompensation



# Vergleich der Lenkwinkel

## Schnellere Reaktion des LQRs mit Störgrößenkompensation



# LQR mit Gain Scheduling

Entwurf des Reglers und Beobachters für die  
diskrete konstante Geschwindigkeit

$$k_c(v_i) = lqr(A(v_i), B, Q(v_i), R), \quad v_i = 15, 20, 25, 30, \dots$$

$$k_o(v_i) = lqr(A_o^T(v_i), C_o^T, Q_o(v_i), R_o)$$

Anwenden für alle sich ändernde  
Geschwindigkeiten durch Interpolation

$$k_c(v) = (k_c(v_{i+1}) - k_c(v_i)) \frac{v - v_i}{v_{i+1} - v_i} + k_c(v_i), \quad v_i < v < v_{i+1}$$

$$k_o(v) = (k_o(v_{i+1}) - k_o(v_i)) \frac{v - v_i}{v_{i+1} - v_i} + k_o(v_i)$$

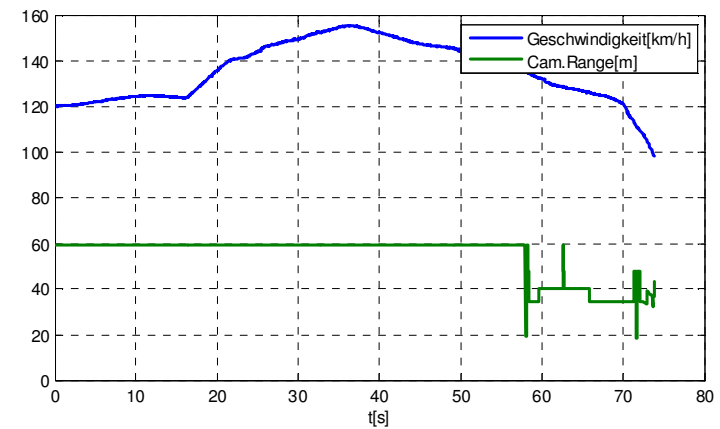
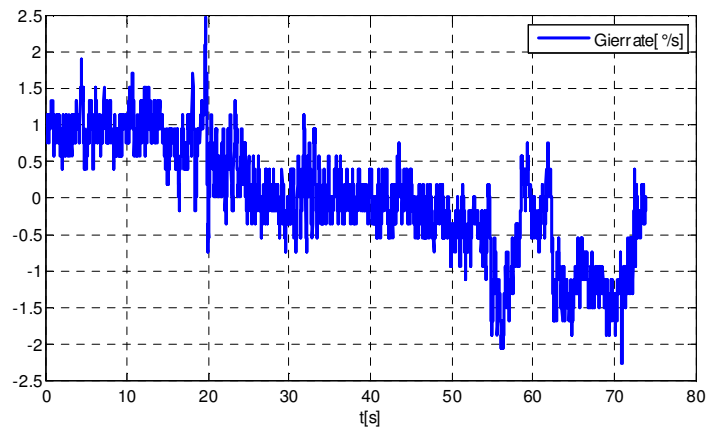
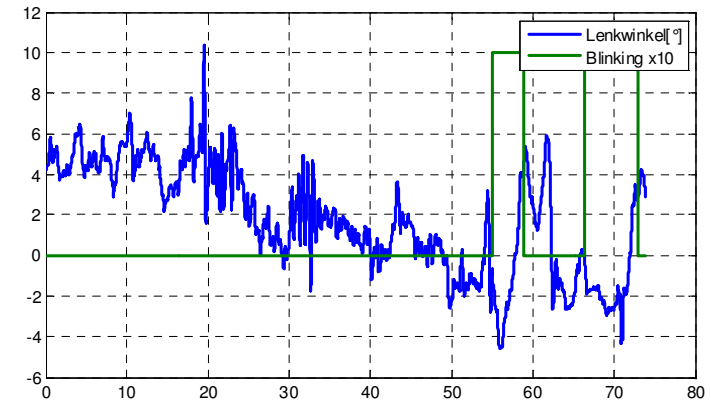
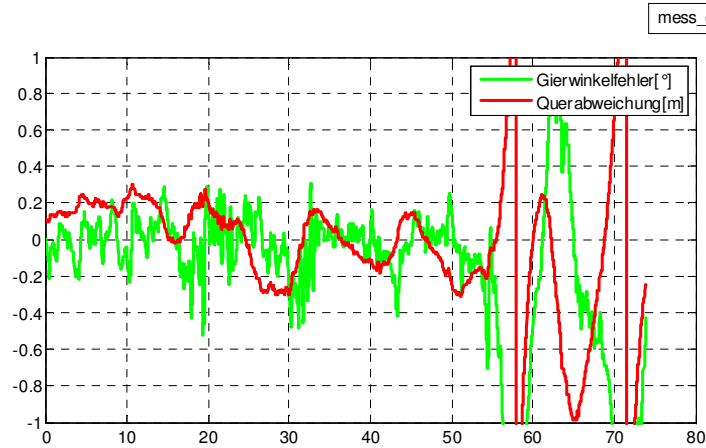
# Übersicht

---

- ▶ Einführung
- ▶ Fahrdynamik
- ▶ Querregelung
- ▶ Fahrversuch
- ▶ Zusammenfassung

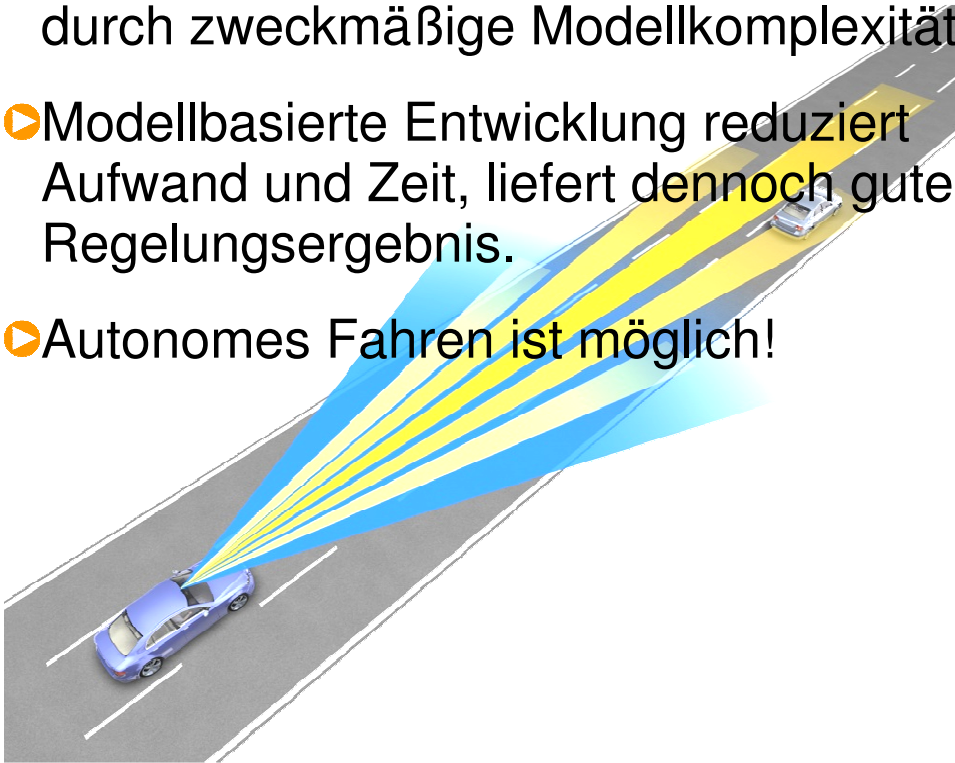


# Fahrversuch



# Zusammenfassung

- Identifikation als mächtiges Werkzeug zur Erlangung eines guten anwendbaren Modells.
- Vereinfachter Regler-/Beobachterentwurf durch zweckmäßige Modellkomplexität.
- Modellbasierte Entwicklung reduziert Aufwand und Zeit, liefert dennoch gutes Regelungsergebnis.
- Autonomes Fahren ist möglich!



$$\delta_c = -k_c(v) \begin{bmatrix} \delta_L \\ \dot{\psi} \\ \theta_d \\ y_d \end{bmatrix} - \delta_s$$

$$\dot{\hat{x}} = A_o \hat{x} + B_o u + k_o (y - C_o \hat{x})$$

$$k_c = [0.2994 \quad 2.0638 \quad -13.5262 \quad -0.5271]$$

$$k_o = \begin{bmatrix} 0.0051 & -0.0049 & -0.0593 \\ 0.0020 & -0.0018 & -0.0216 \\ -0.0018 & 0.0061 & 0.0844 \\ -0.0216 & 0.0844 & 2.0538 \\ 0.0051 & -0.0049 & -0.0593 \end{bmatrix}$$